



CENTRE NATIONAL DE LA RECHERCHE SCIENTIFIQUE  
LABORATOIRE DE PHYSIQUE THÉORIQUE ET MODÈLES STATISTIQUES

---

## Rapport de Stage 2019

---

*Auteur :*  
Cadmos Kahalé-Abdou

*Superviseur :*  
M. Leonardo Mazza

Un rapport soumis pour le diplôme de  
*Double Licence Mathématiques et Physique de l'Université Paris-Sud*

1<sup>er</sup> février 2021

## Résumé

Lorsqu'une particule est soumise à un champ magnétique, les effets quantiques sont nombreux. En se restreignant uniquement à un champ magnétique constant, en utilisant différentes jauges, et en faisant des analogies avec l'oscillateur harmonique quantique, les différentes énergies propres et états propres du système seront retrouvés et discutés. Les valeurs propres de l'Hamiltonien lié à ce systèmes sont les Niveaux de Landau, en référence à Lev Lavidovitch Landau (prix Nobel 1962). Les particules préparées dans l'état du Niveau de Landau le plus bas (LLL pour Lowest Landau Level) seront étudiées et les résultats discutés. Ensuite, différentes configurations du problème seront étudiées, en confinant les particules dans un domaine défini.

### **Remerciements**

Merci à M. Mazza de m'avoir suivi avec bienveillance et minutie, à M. Hello pour avoir orienté mon projet ainsi qu'à Mme. Le Vaou qui a fait en sorte que ce stage se déroule dans les meilleures conditions possibles.

# Table des matières

<b>1</b>	<b>Introduction</b>	<b>3</b>
1.1	Enjeux du Projet . . . . .	3
1.2	Contributions . . . . .	3
<b>2</b>	<b>Niveaux de Landau</b>	<b>5</b>
2.1	Oscillateur Harmonique à deux dimensions . . . . .	5
2.2	Particule quantique soumise à un champ magnétique en jauge symétrique	6
2.2.1	Les états propres en jauge symétrique . . . . .	7
2.2.2	Déterminer les valeurs propres du nouvel Hamiltonien . . . . .	9
2.3	Le niveau de Landau fondamental (LLL) . . . . .	9
<b>3</b>	<b>Les potentiels de confinement</b>	<b>12</b>
3.1	Application du premier potentiel . . . . .	12
3.2	Application d'un deuxième potentiel . . . . .	14
<b>4</b>	<b>Conclusion</b>	<b>17</b>
<b>5</b>	<b>Annexe</b>	<b>18</b>
	<b>Bibliography</b>	<b>19</b>

# Chapitre 1

## Introduction

L'objectif de ce projet est d'étudier la physique derrière un système quantique, qui sera dans notre cas un gaz fermionique, à deux dimensions soumis à un champ magnétique perpendiculaire externe lorsqu'un potentiel de confinement y est appliqué. Pour se faire l'étude se portera d'abord sur le système lorsqu'il n'est soumis qu'au champ magnétique, puis différents potentiels de confinement seront influés au système. Les différents comportements des niveaux d'énergies et des états seront étudiés et discutés. Ensuite, différentes configurations du système seront étudiées dans l'objectif d'obtenir un profil de densité lié à la probabilité de présence de la particule dans un domaine, et déterminer si tous les niveaux d'énergies sont accessibles et accédés.

### 1.1 Enjeux du Projet

Ce projet consistait dans un premier temps de reprendre une partie du programme de Mécanique Quantique de la troisième année de licence à l'Université Paris-Sud, et utiliser ces connaissances pour comprendre le cours de J. Dalibard sur les "Champs magnétiques uniformes et niveaux de Landau". Il a fallu donc comprendre Le mouvement cyclotron classique, ensuite expliciter le spectre d'énergie en utilisant des outils mathématiques algébriques et la notion de jauge, qui a été explicitée par le cours de Barton Zwiebach sur la plateforme MIT Open Courseware. Ces informations n'étant majoritairement pas en rapport avec le projet, elles ne figureront pas dans ce rapport, mais il reste intéressant de noter que ce support vidéo a contribué à ma compréhension personnelle du sujet [1]. Ensuite, il s'agissait d'utiliser ces connaissances fraîchement acquises pour vérifier certains calculs déjà effectués par J. Dalibard, puis répondre à certaines questions en rapport avec le sujet de recherche de M. Mazza, notamment en appliquant différents potentiels au système et en étudiant son évolution par le calcul.

### 1.2 Contributions

La contribution apportée était avant tout de l'ordre du calcul. Plusieurs équations ont été vérifiées, des constantes explicitées et des phénomènes physiques reprécisés. Dans un premier temps, pour comprendre le mouvement cyclotron de la particule et son rapport avec les niveaux de Landau, il a fallu reprendre l'examen de Mécanique Quantique de Janvier 2019 du Magistère de Physique de l'Université Paris-Sud, qui portait partiellement sur le sujet. Il a ensuite fallu écrire la solution de celui-ci en utilisant le langage

LateX que je n'avais jamais utilisé auparavant. Cela à donc été une initiaion, pour moi, à l'utilisation de ce langage. Non seulement résoudre ce sujet m'a permis, mis en perspective avec les nouvelles connaissances acquises avec le cours de J.Dalibard, d'asseoir une base solide pour la suite de mon projet, mais aussi de fournir une version informatisée de la solution de l'examen en question. Ensuite mon travail consistait à expliciter certains calculs que J.Dalibard omettais dans son cours par soucis de cohérence. En effet, certains calculs repris au sein de mon projet n'étaient pas particulièrement utiles à la compréhension générale et académique du problème mais s'avéraient très utiles appliqués aux contraintes qui faisaient la spécificiter de ce stage. Finalement, il a fallut utiliser mes connaissances en programmation scientifique, notamment ma connaissance du langage de programmation python, pour expliciter graphiquement certains résultats liés au cours de J.Dalibard et du projet.

## Chapitre 2

# Niveaux de Landau

Ce chapitre sera dédiée à la description du mouvement de la particule lorsqu'elle est soumise à un champ magnétique uniforme dirigé selon l'axe vertical Oz,  $\vec{B} = B\vec{u}_z$ .

### 2.1 Oscillateur Harmonique à deux dimensions

La section suivante a pour seule référence le texte de Jean Dalibard[2] qui traite exactement de ce sujet.

On considère une particule de masse  $m$  astreinte à se déplacer dans le plan Oxy et soumise à un potentiel d'oscillateur harmonique isotrope  $H_0 = H_x + H_y$  avec :

$$H_x = \frac{\hat{p}_x^2}{2m} + \frac{1}{2}m\omega^2\hat{x}^2, \quad H_y = \frac{\hat{p}_y^2}{2m} + \frac{1}{2}m\omega^2\hat{y}^2 \quad (2.1)$$

On note  $|n_x\rangle$  les vecteurs propres de  $H_x$  associés aux énergies  $E_{n_x} = (n_x + \frac{1}{2})\hbar\omega$  et  $|n_y\rangle$  les vecteurs propres de  $H_y$  associés aux énergies  $E_{n_y} = (n_y + \frac{1}{2})\hbar\omega$ ,  $n_x$  et  $n_y$  des entiers naturels.

On montre que les vecteurs  $|n_x\rangle |n_y\rangle$  sont vecteurs propres de  $H_0$  et que les énergies associées sont de la forme  $E_n = (n + 1)\hbar\omega$  :

$$H_0 |n_x\rangle |n_y\rangle = (E_{n_x} + E_{n_y})|n_x\rangle |n_y\rangle \quad (2.2)$$

On retrouve donc  $E_n$  :

$$E_n = E_{n_x} + E_{n_y} = (n + 1)\hbar\omega \quad (2.3)$$

avec  $n = n_x + n_y$

On trouve alors que l'énergie du fondamental est  $E_0 = \hbar\omega$ , et le vecteur propre associé est le vecteur  $|0, 0\rangle$ . Notons la dégénérescence de degré  $n$ ,  $g_n$ . L'état fondamental n'est donc pas dégénéré. Mais notons que  $g_n = (n + 1)$ .

## 2.2 Particule quantique soumise à un champ magnétique en jauge symétrique

Reprenons le problème de la particule soumise au champ magnétique L'Hamiltonien de la particule de charge  $q$  en présence du champ magnétique s'écrit :

$$\hat{H} = \frac{(\hat{\vec{p}} + q\vec{A}(\vec{r}))^2}{2m} \quad (2.4)$$

On prendra dans ce paragraphe la jauge symétrique suivante [1] :

$$A_x(r) = -B_y/2, \quad A_y(r) = B_x/2, \quad A_z(r) = 0 \quad (2.5)$$

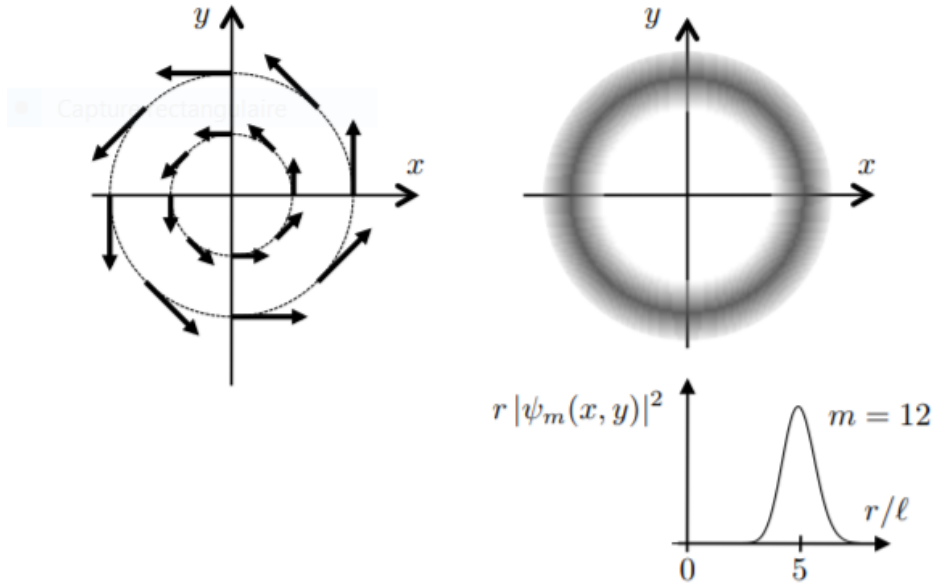


FIGURE 2.1 – Gauche : représentation du potentiel vecteur en jauge symétrique. Droite : densité de probabilité pour une fonction propre de l'hamiltonien en jauge symétrique appartenant au premier niveau d'énergie. La densité de probabilité  $r|\psi_m(x, y)|^2$  est maximale pour  $r_m = \sqrt{2m+1}l$  ; la densité de probabilité est tracée pour  $m = 12$  [2]

Notons que ce choix de jauge brise l'invariance par translation du problème, mais respecte l'invariance par rotation autour du centre.

On va maintenant chercher les valeurs propres de cet Hamiltonien, et expliciter le mouvement de la particule dans le plan Oxy.

En développant l'Hamiltonien on peut l'écrire sous la forme  $H = H_{xy} + H_z$ , avec

$$\hat{H}_z = \frac{\vec{p}_z^2}{2m}, \quad H_{xy} = \hat{H}_0 + \omega \hat{L}_z \quad (2.6)$$



où  $\hat{L}_z = \hat{x}\hat{p}_y - \hat{p}_x\hat{y}$  est la composante sur l'axe Oz du moment cinétique et la pulsation  $\omega = \frac{qB}{2m}$  qui est elle même la moitié de la pulsation cyclotron de la particule  $\omega_c = \frac{qB}{m}$ , et  $\hat{H}_0$  l'Hamiltonien associé à l'oscillateur quantique isotrope en deux dimensions de pulsation  $\omega$ .

Le mouvement dans le plan Oxy et sur l'axe Oz sont séparés, en effet  $H_{xy}$  et  $H_z$  sont indépendants, donc ils commutent.  $H_z$  agit sur un mouvement selon l'axe Oz, cela décrit une particule libre. Nous ferons donc le choix de négliger  $H_z$  dans l'étude à partir de maintenant.

On commence donc par étudier le mouvement de la particule dans le plan Oxy, donc celui qui est décrit par l'Hamiltonien  $H_{xy}$ . Cela revient donc à dire que l'on étudie une particule confinée dans une structure plane et soumise à un champ magnétique perpendiculaire à ce plan.

### 2.2.1 Les états propres en jauge symétrique

Les opérateurs  $\hat{H}_0$  et  $\hat{L}_z$  commutent, ils ont donc une base de vecteurs propres communs. Ils fournissent alors une base de vecteur propre pour  $H_{xy}$ .

Nous noterons  $|n, m\rangle$  les vecteurs propres de  $H_0$  et  $\hat{L}_z$  associés aux valeurs propres  $(n+1)\hbar\omega$  et  $m\hbar$  respectivement.

Les valeurs propres de  $H_{xy}$  sont donc  $E_{nm} = (n+m+1)\hbar\omega$ .

On s'attend donc à trouver des niveaux d'énergie, régulièrement espacés de la quantité  $\omega_c$ , qui sont appelés niveaux de Landau. Pour rechercher la forme des états propres, il faut choisir une jauge pour exprimer le potentiel vecteur, ce que nous ferons dans la suite. Nous rappelons que le choix de la jauge laisse invariant le spectre associé à l'opérateur en question. Notons d'ores et déjà que puisque nous étudions ici un problème bi-dimensionnel et qu'on trouve que les énergies sont repérées par un seul nombre quantique  $n$ , on peut s'attendre à ce que les niveaux d'énergies soient dégénérés. Nous verrons que c'est effectivement le cas, la dégénérescence étant en fait macroscopique pour chaque niveau  $E_n$  : le nombre d'états propres croît proportionnellement à la surface accessible à la particule dans le plan  $xy$ .

On note  $\epsilon_n$  le sous espace propre engendré par les états propres de  $H_0$  correspondant à la même valeur propre  $E_n$ .  $\hat{H}_0$  et  $\hat{L}_z$  commutant, on peut décomposer la recherche d'une base de vecteurs propres communs à  $\hat{H}_0$  et  $\hat{L}_z$  en une recherche réduite à chaque sous-espace  $\epsilon_n$ . La base de vecteurs propres communs finale sera obtenue comme la réunion des vecteurs propres communs de chacun des  $\epsilon_n$ .

On introduit d'abord l'opérateur hermitien *quantité de mouvements* :

$$\hat{\Pi}_j = \hat{p}_j - qA_j(\hat{\mathbf{r}}), \quad j = x, y, \quad \hat{\mathbf{p}} = -i\hbar\nabla \quad (2.7)$$

Avec lequel on peut réécrire l'Hamiltonien :

$$\hat{H} = \frac{1}{2m}(\hat{\Pi}_x^2 + \hat{\Pi}_y^2) \quad (2.8)$$

Notons de plus que les deux composantes de l'opérateurs  $\hat{\Pi}$  ne commutent pas :

$$[\hat{\Pi}_x, \hat{\Pi}_y] = i\hbar qB \quad (2.9)$$

La recherche des états propres de  $(\hat{\Pi}_x^2 + \hat{\Pi}_y^2)/2m$ , sachant que le commutateur de ces deux opérateurs hermitiens est une constante (2.9), est un problème très similaire à celui

de la diagonalisation de l'hamiltonien d'un oscillateur harmonique  $(\hat{P}^2 + \hat{X}^2)/2$ , avec  $[\hat{X}, \hat{P}] = i$ . Nous allons donc utiliser une méthode similaire à celle développée par Dirac pour résoudre le problème de l'oscillateur harmonique.

On introduit alors les opérateurs anihilation et création :

$$\hat{a} = \frac{1}{\sqrt{2\hbar qB}}(\hat{\Pi}_x + i\hat{\Pi}_y), \quad \hat{a}^\dagger = \frac{1}{\sqrt{2\hbar qB}}(\hat{\Pi}_x - i\hat{\Pi}_y). \quad (2.10)$$

La relation de commutation

$$[\hat{a}, \hat{a}^\dagger] \quad (2.11)$$

et l'expression de l'Hamiltonien

$$\hat{H} = \hbar\omega_c(\hat{a}^\dagger\hat{a} + \frac{1}{2}) \quad (2.12)$$

sont identiques à celles obtenues pour les opérateurs d'un oscillateur harmonique de pulsation  $\omega_c$ . On en déduit que les valeurs propres de  $\hat{H}$  sont nécessairement de la forme

$$E_n = (n + \frac{1}{2})\hbar\omega_c, \quad \text{avec } n \text{ entier positif ou nul} \quad (2.13)$$

Nous reconfirmerons ce résultat par la suite.

On rappelle que  $\hat{x} = \sqrt{\frac{\hbar}{2m\omega}}(\hat{a}_x + \hat{a}_x^\dagger)$  et  $\hat{p}_x = i\sqrt{\frac{m\hbar\omega}{2}}(\hat{a}_x^\dagger - \hat{a}_x)$ , et similairement pour  $\hat{y}$  et  $\hat{p}_y$  avec les opérateurs création et anihilation  $\hat{a}_y^\dagger$  et  $\hat{a}_y$ .

On trouve l'espace engendré par les états propres  $|n_x\rangle|n_y\rangle$  (que nous avons trouvé à l'équation (2.2)) et  $\hat{L}_z$  (démonstration en Annexe) sont :

$$\hat{L}_z|n_x\rangle|n_y\rangle = i\frac{\hbar}{2}(2\sqrt{n_x}\sqrt{n_y+1}|n_x-1\rangle|n_y+1\rangle - 2\sqrt{n_x+1}\sqrt{n_y}|n_x+1\rangle|n_y-1\rangle) \quad (2.14)$$

L'état fondamental de  $H_0$  est l'état que l'on a appelé  $|0\rangle|0\rangle$ , associé à la valeur propre  $E_0 = \hbar\omega$ , cet état est aussi état propre de  $\hat{L}_z$  :

$$\hat{L}_z|0\rangle|0\rangle = 0$$

$\epsilon_0$  est donc engendré par un vecteur unique :  $|0\rangle|0\rangle$ , vecteur propre de l'opérateur  $H_{xy}$ , pour la valeur propre  $\hbar\omega$ , qui correspond au premier niveau de Landau (Lowest Landau Level (LLL)). Rappelons bien qu'ici, nous sommes en train de retrouver les vecteurs propres de  $\hat{L}_z$  afin de diagonaliser l'Hamiltonien  $\hat{H}_{xy}$  donné à l'équation (2.6), le nouvel hamiltonien étant de la forme  $H = H_{xy} + H_z$ .

Ainsi, on peut noter :

- L'état fondamental  $|0\rangle|0\rangle$  d'énergie  $\hbar\omega$  est non dégénéré ;
- Le premier niveau excité d'énergie  $3\hbar\omega$  est dégénéré de degré de dégénérescence 2, engendré par les états  $|1\rangle|0\rangle$ , et  $|0\rangle|1\rangle$
- Le deuxième niveau excité d'énergie  $5\hbar\omega$  est de dégénérescence 3 et engendré par trois états  $|2\rangle|0\rangle$ ,  $|1\rangle|1\rangle$ , et  $|0\rangle|2\rangle$

En continuant ainsi, on conclut que la dégénérescence associée aux différentes énergies propres de notre système actuel est la même que celle de l'oscillateur harmonique à deux dimensions. La fonction d'onde associée à un état  $|n_x\rangle|n_y\rangle$  est  $P_{n_x}(x)e^{-x^2/4l^2}$ ,  $P_{n_y}(y)e^{-y^2/4l^2}$ , où les  $P_n$  sont les polynômes d'Hermite de degrés  $n$  et  $l$  la longueur associée à de l'oscillateur.

L'expression de l'opérateur  $\hat{L}_z$  en coordonnées polaires est la suivante :

$$\hat{L}_z = -i\hbar \frac{\partial}{\partial \varphi}$$

Ses fonctions propres sont de la forme  $F(r)e^{im\varphi}$ , avec  $m$  un entier relatif et  $F$  une fonction de la variable radiale. On remarque que l'état fondamental de l'opérateur  $\hat{H}_0$ , de fonction d'onde  $e^{-r^2/4l^2}$  est de cette forme pour  $m = 0$ .

On cherche maintenant à établir une base propre commune à  $\hat{H}_0$  et  $\hat{L}_z$ . Une telle base sera donc aussi une base de  $\hat{H}$ . On peut travailler par sous espace propre de  $H_0$  :

- On a noté l'état fondamental, commun à  $\hat{H}_0$  et  $\hat{L}_z$ , l'état  $e^{-r^2/4l^2}$
- Dans le premier état excité de  $H_0$  on retrouve les états  $|1\rangle|0\rangle$ , et  $|0\rangle|1\rangle$ , qui ont pour fonctions d'onde  $xe^{-r^2/4l^2}$  et  $ye^{-r^2/4l^2}$  respectivement. Ils ne sont donc pas des états propres de  $\hat{L}_z$ , mais il est facile de trouver deux combinaisons linéaires qui conviennent :

$$(x - iy)e^{-r^2/4l^2} = re^{-i\varphi}e^{-r^2/4l^2} \text{ et } (x + iy)e^{-r^2/4l^2} = re^{+i\varphi}e^{-r^2/4l^2}, \quad (2.15)$$

associées respectivement à  $m = -1$  et  $m = +1$

- Plus généralement, dans un sous-espace propre donné de  $\hat{H}_0$  associé au nombre quantique  $n = n_x + n_y$ , on peut identifier  $n_0 + 1$  états propres indépendants de  $\hat{L}_z$  associés aux nombres quantiques azimutaux

$$m = -n_0, -n_0 + 2, \dots, n_0 - 2, n_0 \quad (2.16)$$

L'écriture générale de ces états est compliquée, sauf pour les deux états extrêmes  $m = \pm n_0$  qui ont pour fonction d'onde :

$$m = \pm n_0 : (x \pm iy)^m e^{-r^2/4l^2} = r^m e^{\pm im\varphi} e^{-r^2/4l^2} \quad (2.17)$$

### 2.2.2 Déterminer les valeurs propres du nouvel Hamiltonien

Maintenant que nous disposons d'une base commune à  $\hat{H}_0$  et  $\hat{L}_z$ , le problème de la diagonalisation de  $\hat{H}$  est résolu. Un état propre commun à  $\hat{H}_0$  et  $\hat{L}_z$ , de valeur propre  $(n_0 + 1)\hbar\omega$  et  $m\hbar$ , sera également état propre de  $\hat{H}$  avec la valeur propre :

$$E_{n_0 m} = (n_0 + 1)\hbar\omega - m\hbar\omega, \text{ avec } m = -n_0, -n_0 + 2, \dots, n_0 - 2, n_0. \quad (2.18)$$

Ce qui s'écrit aussi :

$$E_n = (n + \frac{1}{2})\hbar\omega_c, \text{ avec } n = \frac{n_0 - m}{2} \text{ un entier positif ou nul} \quad (2.19)$$

On retrouve donc la structure de l'Hamiltonien en niveaux de Landau régulièrement espacés (voir figure 2.2). On note de plus que chaque niveau de Landau est *infinitement dégénéré*, au moins si la particule peut explorer tout le plan  $xy$ . Il existe en effet une infinité de façons d'atteindre tout entier  $n$  à partir de couples  $(n_0, m)$  si on ne restreint pas les valeurs de  $n_0$  et  $m$  réalisables.

## 2.3 Le niveau de Landau fondamental (LLL)

La section suivant a été essentiellement traité par Jean Dalibard[2] dont le texte sera la référence exclusive.

Cette procédure fournit un moyen systématique pour trouver une base d'états propres de  $\hat{H}$ . Intéressons nous ici au niveau de Landau fondamental.  $n = 0$  (Lowest Landau Level), obtenu en prenant systématiquement  $n_0 = m$ . On retrouve donc les fonctions d'ondes du chapitre précédent :

$$\psi_{n_0=m,m} \propto (x + iy)^m e^{-r^2/4l^2} = r^m e^{im\varphi} e^{-r^2/4l^2} \quad (2.20)$$

On normalise la fonction d'onde :

$$\begin{aligned} 1 &= \int_0^{+\infty} \int_0^{2\pi} |\alpha_m r^m e^{im\varphi} e^{-r^2/4l^2}|^2 r dr d\varphi, \text{ (avec } \alpha_m \text{ la constante d'intégration)} \\ &= \int_0^{+\infty} \int_0^{2\pi} |\alpha_m|^2 r^{2m} e^{-r^2/2l^2} r dr d\varphi \\ &= 2\pi |\alpha_m|^2 \int_0^{+\infty} r^{2m} e^{-r^2/2l^2} r dr \\ &= 2\pi |\alpha_m|^2 \left( [-r^{2m} e^{-r^2/2l^2}]_0^{+\infty} + 2ml^2 \int_0^{+\infty} r^{2m-2} e^{-r^2/2l^2} r dr \right) \\ &= 4\pi |\alpha_m|^2 ml^2 \int_0^{+\infty} r^{2m-2} e^{-r^2/2l^2} r dr \\ &= 2^{m+1} |\alpha_m|^2 (m!) l^{2m} \int_0^{+\infty} e^{-r^2/2l^2} r dr \\ &= 2^{m+1} |\alpha_m|^2 (m!) l^{2m} \end{aligned} \quad (2.21)$$

Ainsi, on trouve :

$$\begin{aligned} |\alpha_m|^2 &= \frac{1}{2\pi l^2 (m!)} \frac{1}{2^m l^{2m}} \\ \Rightarrow \alpha_m &= \frac{1}{\sqrt{2\pi l^2 (m!)}} \frac{1}{\sqrt{2^m l^m}} \text{ (à un multiple de } i \text{ près)} \end{aligned}$$

Sur la figure 2.1, nous avons, tracé, la densité de probabilité radiale  $r|\psi_m|^2$ , associée à un état  $\psi_m$  du LLL (ici  $n_0 = m$  on peut donc oublier l'indice  $n_0$ ). Cette densité de probabilité est invariante par rotation autour de l'axe  $z$  et elle est maximale sur un cercle de rayon

$$r_m = \sqrt{2m+1} l \quad (2.22)$$

Une particule préparée dans un état  $\psi_m$  donné est donc localisée sur un anneau étroit, la réunion de tous ces anneaux recouvrant le plan. On trouve par ailleurs :

$$\langle \psi_m | r^2 | \psi_m \rangle = (2m+2) l^2 \quad (2.23)$$

L'orthogonalité des différents  $\psi_m$  est assurée par leur dépendance différente vis à vis de l'angle polaire  $\varphi$  :

$$\int \psi_m^*(r) \psi_{m'}(r) d^2r \propto \int e^{-im\varphi} e^{im'\varphi} d\varphi = 2\pi \delta_{m,m'} \quad (2.24)$$

On remarque d'abord que :

$$\frac{1}{|\alpha_m|^2} = \int_0^{+\infty} \int_0^{2\pi} r^{2m} e^{-r^2/2l^2} r dr d\varphi \quad (2.25)$$

On a donc :

$$\frac{1}{|\alpha_{m+1}|^2} = \int_0^{+\infty} \int_0^{2\pi} r^{2m+2} e^{-r^2/2l^2} r dr d\varphi \quad (2.26)$$

Ainsi,

$$\langle \psi_m | r^2 | \psi_m \rangle = \frac{|\alpha_m|^2}{|\alpha_{m+1}|^2} = \frac{2\pi l^2 (m+1!) 2^{m+1} l^{2m+1}}{2\pi l^2 (m!) 2^m l^{2m}} = (2m+2)l^2 \quad (2.27)$$

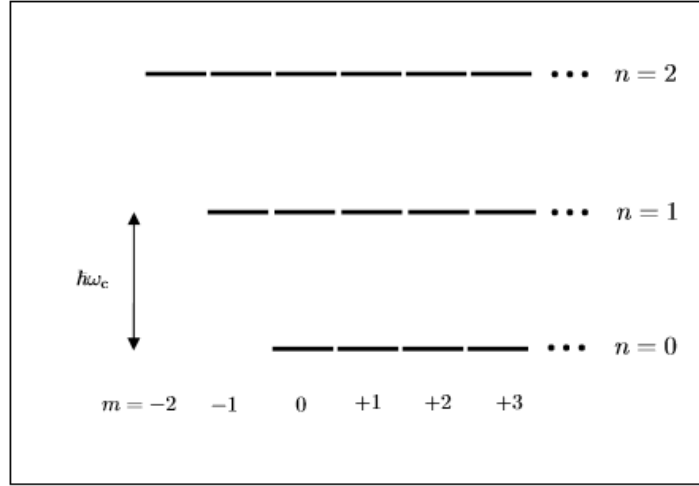


FIGURE 2.2 – Structure des niveaux d'énergie de l'hamiltonien  $\hat{H}$  décrivant une particule dans un champ magnétique uniforme. Cette structure se déduit de celle du haut en déplaçant un niveau  $(n_0, m)$  de l'énergie  $-\hbar\omega_c/2$ . [2]

## Chapitre 3

# Les potentiels de confinement

On souhaiterait étudier le comportement du système au contact de différents potentiels de confinement externes.[3]

### 3.1 Application du premier potentiel

Le premier potentiel appliqué au système est  $V_1 = \frac{1}{2}m^*\Omega^2r^2$ . On retrouve déjà l'orthogonalité des différents  $\psi_m$  qui est assurée par leur dépendance différente vis à vis de l'angle polaire  $\varphi$ . Les particules étant situées sur un anneau étroit, l'observable  $V_1$  pour une particule préparée dans l'état  $\psi_m$  nous donne pour moyenne :

$$\frac{1}{2}m^*\Omega^2\langle\psi_m|r^2|\psi_m\rangle = \frac{1}{2}m^*\Omega^2(2m+2)l^2 = m^*\Omega^2(m+1)l^2 \quad (3.1)$$

Une valeur linéaire en  $m$ , avec  $m^*$  la masse d'une particule et  $\Omega$  non nul.

En supposant que les particules observées sont  $N$  fermions qui composent un gaz, on établit la densité du gaz en posant [3] :

$$\rho(x, y) = \sum_{\text{niveaux occupés}}^N |\psi_m(x, y)|^2 \quad (3.2)$$

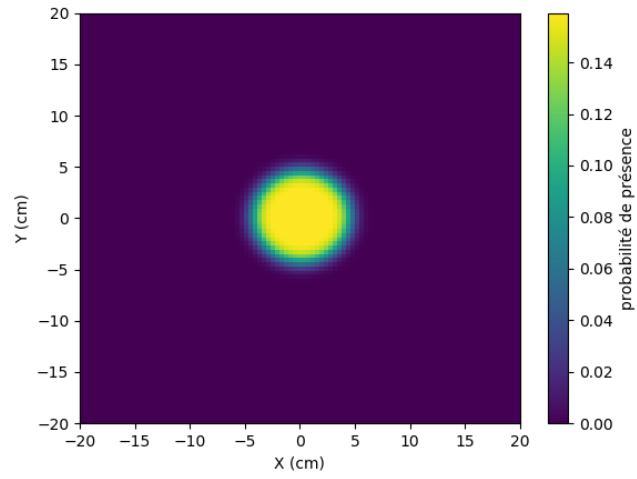


FIGURE 3.1 – Densité du gaz pour  $N = 10$  particules

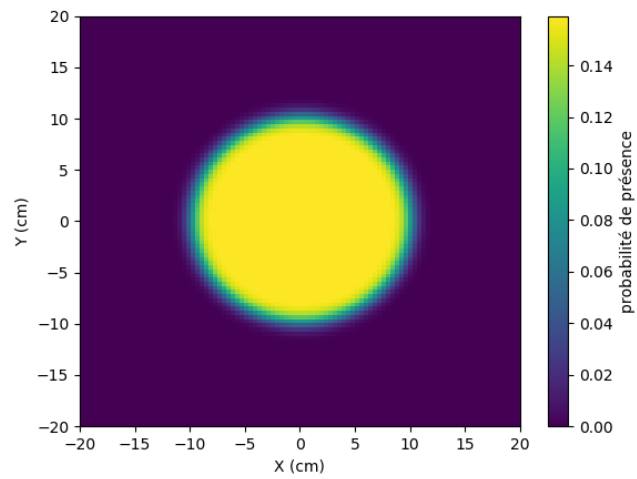


FIGURE 3.2 – Densité du gaz pour  $N = 50$  particules

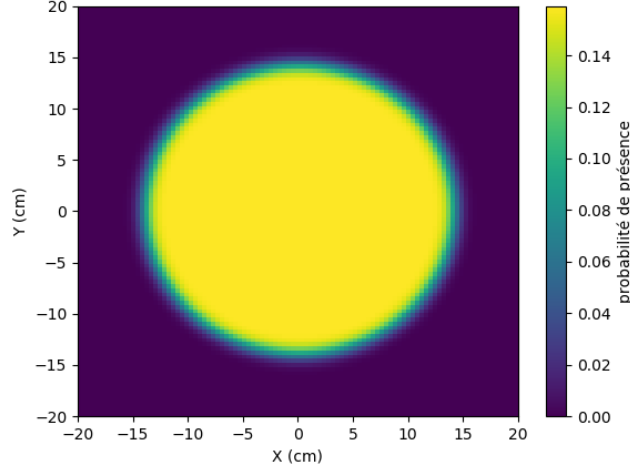


FIGURE 3.3 – Densité du gaz pour  $N = 100$  particules

On note d'abord la symétrie circulaire relevée en section 2.1.1. On observe aussi que la densité des particules n'est pas établie sur un anneau, mais s'étale sur un disque. Plus  $N$  est grand, plus le rayon du cercle est grand. On retrouve l'aspect linéaire du niveau d'énergie de la particule soumise au potentiel  $V_1$  par rapport à  $m$ . Il est intéressant de noter aussi que la distribution des particules est uniforme.

### 3.2 Application d'un deuxième potentiel

On décide maintenant d'appliquer un potentiel  $V_2 = V_0 e^{-r^2/2\sigma^2}$ . On retrouve encore l'orthogonalité des différents  $\psi_m$ , et les différentes valeurs moyennes de l'observable pour des particules préparées dans l'état  $\psi_m$  sont :

$$\begin{aligned}
 \langle \psi_m | V_2 | \psi_m \rangle &= V_0 2\pi |\alpha_m|^2 \int_0^{+\infty} r^{2m} r e^{-r^2(1/2l^2 + 1/2\sigma^2)} dr \\
 &= V_0 2\pi |\alpha_m|^2 2^m (m!) \left( \frac{1}{1/l^2 + 1/\sigma^2} \right)^m \frac{1}{2(1/l^2 + 1/\sigma^2)} \\
 &= V_0 \left( \frac{\sigma^2}{l^2 + \sigma^2} \right)^{m+1} \\
 &= V_0 \left( 1 + \frac{l^2}{\sigma^2} \right)^{-(m+1)}
 \end{aligned} \tag{3.3}$$

En modélisant le système soumis aux deux potentiels, on observe une distribution convexe des niveaux d'énergies. En supposant que l'on intègre au système les particules une à une, la première particule remplira le niveau d'énergie le plus faible. Le gaz étant fermionique, le principe d'exclusion de Pauli nous dit que la deuxième particule sera au premier niveau d'énergie supérieur, et ainsi de suite jusqu'à se retrouver avec les  $N$  particules du système. Pour des  $\sigma$  et  $l$  donnés, quel est le niveau d'énergie en dessous duquel le premier niveau d'énergie  $E_0$  n'est pas atteint ? [3]

L'énergie associée au nouvel Hamiltonien du système soumis au potentiel  $V_1$  et  $V_2$  est :

$$E_m = \frac{\hbar\omega_c}{2} + m^* \Omega^2 (m+1) l^2 + V_0 \left( 1 + \frac{l^2}{\sigma^2} \right)^{-(m+1)} \tag{3.4}$$



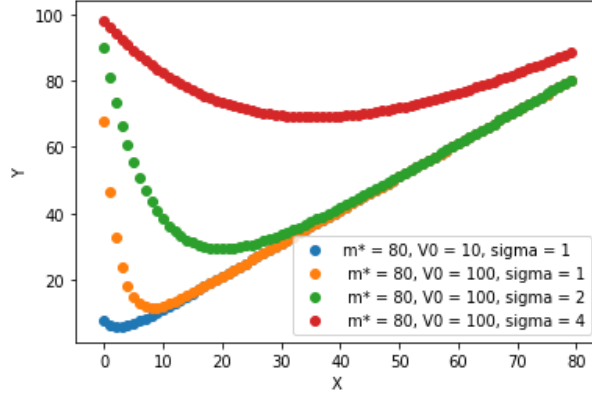


FIGURE 3.4 – Structure d'énergie de l'hamiltonien décrivant une particule dans un champ magnétique uniforme soumis aux potentiels  $V_1$  et  $V_2$ , pour différentes valeurs de  $\sigma$  et  $V_0$ .

On cherche à trouver  $N$ , le nombre de fermions nécessaires pour que le niveau d'énergie  $E_0$  soit rempli, donc, le plus grand  $N$  tel que  $E_N < E_0$ . On cherche donc le  $N$  le plus grand tel que :

$$\left(\frac{l^2}{\sigma^2} + 1\right) \frac{l^2 m^* \Omega^2}{V_0} N + \left(\frac{l^2}{\sigma^2} + 1\right)^{-N} < 1 \quad (3.5)$$

En posant  $\alpha = \frac{l^2 m^* \Omega^2}{V_0}$  et  $\beta = \frac{l^2}{\sigma^2}$  on a l'inégalité suivante :

$$\alpha N < \frac{1 - (\beta^2 + 1)^{-N}}{\beta^2 + 1} \quad (3.6)$$

On pose  $f(\beta) = \frac{1 - (\beta^2 + 1)^{-N}}{\beta^2 + 1}$ , et  $\beta_{max}$  la valeur de  $\beta$  tel que  $f'(\beta_{max}) = 0$ , qui est l'unique maximum de la fonction. Le calcul est le suivant :

$$f'(\beta_{max}) = \frac{N(\beta^2 + 1)^{-N-1} 2\beta(\beta^2 + 1) - 2\beta(1 - (\beta^2 + 1)^{-N})}{(\beta^2 + 1)^2} \quad (3.7)$$

$$\text{Ainsi, } (1 + N)(\beta^2 + 1)^{-N} - 1 = 0$$

Donc, on a :

$$\beta_{max} = \sqrt{\left(\frac{1}{1 + N}\right)^{-1/N} + 1} \quad (3.8)$$

ON peut donc dans l'espace des phases qui mets en jeu les variables dynamiques  $\alpha$  et  $\beta$ , tracer les points qui vérifient l'égalité :

$$\alpha N = \frac{1 - (\beta^2 + 1)^{-N}}{\beta^2 + 1} \quad (3.9)$$

On obtient alors un espace des phases, avec, tracé, la courbe qui représente les couples où l'égalité (3.8) est vérifiée. On peut donc délimiter les zones suivantes : pour un couple  $(\alpha, \beta)$  en dessous de la courbe le niveau d'énergie  $E_0$  est remplie, si un couple  $(\alpha, \beta)$  représente un point au dessus de la courbe, alors le niveau d'énergie  $E_0$  n'est pas remplie

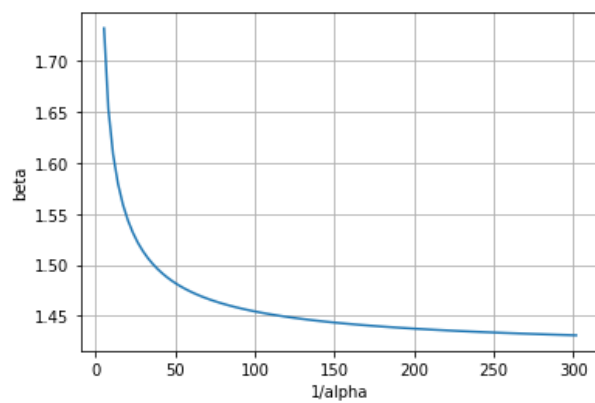


FIGURE 3.5 – Espace des phases mettant en jeu les couples  $(\alpha, \beta)$

## Chapitre 4

# Conclusion

Nous avons commencé par expliciter le mouvement de la particule de masse  $m$  dans lorsqu'elle est soumise à un champ magnétique dirigé selon l'axe  $Oz$ . Par une méthode algébrique et l'utilisation de la jauge symétrique nous avons pu mettre en exergue les différentes énergies propres associées à l'Hamiltonien de ce système.

Dans un premier temps, nous avons retrouvé le mouvement cyclotron de la particule. La densité de probabilité pour une fonction propre de cet Hamiltonien en jauge symétrique est représentée par un anneau. Dans un second temps, le nouvel Hamiltonien, à ce point là du projet, étant composé de l'Hamiltonien de l'oscillateur classique et de l'opérateur moment cinétique, nous avons trouvé une base de fonction d'onde propre commune à ces deux opérateurs pour trouver le spectre et les fonctions d'onde propres du nouvel Hamiltonien. A la fin de cette étude, on retrouve la structure de l'Hamiltonien en niveaux de Landau régulièrement espacés. On note de plus que chaque niveau de Landau est infiniment dégénéré, au moins, si la particule peut explorer tout le plan.

Nous avons porté le reste de l'étude sur le niveau de Landau fondamental (LLL) en particulier. Notre objectif principal étant de lever la dégénérescence, nous avons appliqué deux potentiels. Le premier potentiel nous a permis de donner un profil linéaire aux énergies associées aux fonctions d'ondes propres du LLL. Nous avons ensuite retracé la densité de probabilité pour une fonction propre de ce nouvel Hamiltonien, qui apparaît maintenant comme étant un disque dans le plan  $xy$  et non plus un anneau localisé.

Finalement, nous avons appliqué un deuxième potentiel avec un profil gaussien. Cela redistribuera les énergies propres de système selon une courbe convexe. C'est alors que nous avons retrouvé les couples  $\sigma$  et  $V_0$  tels qu'il y ait  $N$  particules dans le système avant que le niveau d'énergie  $E_0$  ne soit rempli.

## Chapitre 5

## Annexe

On explicite ici le calcul qui nous permet d'expliciter l'espace engendré par les états propres  $|n_x\rangle|n_y\rangle$  et l'opérateur  $\hat{L}_z$ . Trouver cet espace et l'espace engendré par  $H_0$  nous permet de trouver le spectre du nouvel Hamiltonien de la section 2.2. On a d'une part,

$$\begin{aligned} xp_y|n_x\rangle|n_y\rangle &= x|n_x\rangle \otimes i\sqrt{\frac{m\hbar\omega}{2}}(a_y^\dagger - a_y)|n_y\rangle \\ &= i\frac{\hbar}{2}(\sqrt{n_x}\sqrt{n_y+1}|n_x+1\rangle|n_y+1\rangle - \sqrt{n_x}\sqrt{n_y}|n_x-1\rangle|n_y-1\rangle + \sqrt{n_x+1}\sqrt{n_y+1}|n_x+1\rangle|n_y+1\rangle - \sqrt{n_x+1}\sqrt{n_y}|n_x+1\rangle|n_y-1\rangle) \end{aligned}$$

D'autre part :

$$\begin{aligned} yp_x|n_x\rangle|n_y\rangle &= yi\sqrt{\frac{m\hbar\omega}{2}}(a_x^\dagger - a_x)|n_x\rangle|n_y\rangle \\ &= i\frac{\hbar}{2}(\sqrt{n_x+1}\sqrt{n_y}|n_x+1\rangle|n_y-1\rangle + \sqrt{n_x+1}\sqrt{n_y+1}|n_x+1\rangle|n_y+1\rangle - \sqrt{n_x}\sqrt{n_y}|n_x-1\rangle|n_y-1\rangle - \sqrt{n_x}\sqrt{n_y+1}|n_x-1\rangle|n_y+1\rangle) \end{aligned}$$

Ainsi,

$$L_z|n_x\rangle|n_y\rangle = i\frac{\hbar}{2}(2\sqrt{n_x}\sqrt{n_y+1}|n_x-1\rangle|n_y+1\rangle - 2\sqrt{n_x+1}\sqrt{n_y}|n_x+1\rangle|n_y-1\rangle)$$

# Bibliographie

- [1] Barton Zwiebach. Lecture 14 : Charged particles in electromagnetic fields, 2019 reupdate. <https://ocw.mit.edu/courses/physics/8-06-quantum-physics-iii-spring-2018/video-lectures/time-dependent-perturbation-theory/>.
- [2] Jean Dalibard. Mouvement d'une particule dans un champ magnétique uniforme : les niveaux de Landau, 2014.
  - Akkermans, E. and G. Montambaux (2004), Physique mésoscopique des électrons et des photons, CNRS Editions.
  - Cooper, N. R. (2008), « Rapidly rotating atomic gases », in Advances in Physics 57.6, pp. 539–616.
  - Eisenstein, J.P. (2005), « Novel phenomena in double layer twodimensional electron systems », in Nanophysics : coherence and transport, ed. by H. Bouchiat, Y. Gefen, S. Guéron, G. Montambaux and J. Dalibard, vol. Ecole des Houches 2004, session LXXXI, Elsevier, , pp. 129–175.
  - Girvin, Steven M. (2000), « The Quantum Hall Effect : Novel Excitations and Broken Symmetries », in Topological Aspects of Low Dimensional Systems, ed. by A. Comtet, T. Jolicoeur, S. Ouvry and F. David, vol. Les Houches, July 1998, Springer-Verlag.
  - Goerbig, M. O. (2009), « Quantum Hall Effects », in lecture notes for the Singapore session “Ultracold Gases and Quantum Information” of Les Houches Summer School, vol. arXiv :0909.1998.
  - Goldman, N., J. Dalibard, A. Dauphin, F. Gerbier, M. Lewenstein, P. Zoller and I. B. Spielman (2013), « Direct imaging of topological edge states in cold-atom systems », in PNAS 110.17, p. 6736.
  - Imry, Yoseph (1997), Introduction to Mesoscopic Physics, Oxford University Press.
  - Jackson, J. D. (1998), Classical Electrodynamics, New York : John Wiley.
  - Ji, Yang, Yunchul Chung, D. Sprinzak, M. Heiblum, D. Mahalu and Hadas Shtrikman (2003), « An electronic Mach–Zehnder interferometer », in Nature 422, p. 415.
  - Yoshioka, Daijiro (2002), The Quantum Hall Effect, Springer-Verlag.
- [3] Leonardo Mazza. Private communications, Juin - Juillet 2019.